塩化ビニル管の動的・準静的時の強度について

東北学院大学工学部 学生会員 高橋 広喜

学生会員 菅原 康太

東北学院大学工学部 正会員 河野 幸夫

1.目的

本研究では、塩化ビニル供試体に電動ポンプによる水圧載荷を行い、載荷時間を変化させ実際に破壊し、以下の項目を明らかにすることを研究目的とする。

- (1) 高速度カメラによって撮影した破壊画像より、破壊形状ごとに分類して比較する。
- (2) 公式を用いて塩化ビニル供試体の強度を算定する。
- (3) 最大圧力及び強度と水圧載荷時間をグラフに表し、どのような関係になっているかを検討する。

2. 水圧破壊実験方法

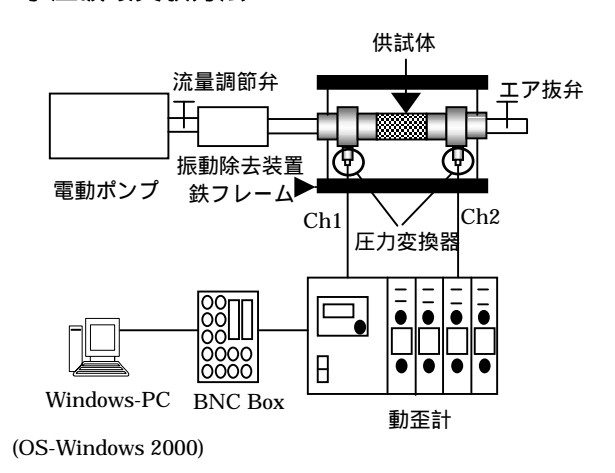
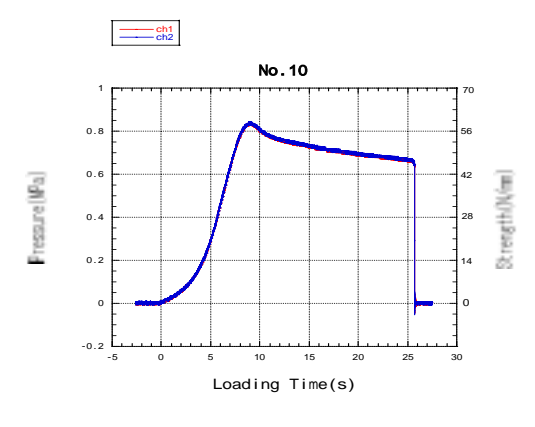


図 - 1 水圧破壊実験装置図

図-1は水圧破壊の装置図を示している。鉄管の中心部分に、塩化ビニル供試体を取り付け、さらに圧力計、電動ポンプを取り付ける。また引っ張りなどの作用が働かないように、4本のL字フレームでしっかりと固定する。破壊時の圧力を測定するため供試体の両端に圧力変換器 CH1と CH2 を取り付け動歪計、BNCBOX を経由して Windows-PC に接続する。また、画像も同時に撮影するため、2 台の高速度カメラも設置する。気温、水温の測定後実験を開始する。電動ポンプによって水圧載荷する。載荷開始から破壊までの載荷時間は0~900程度行い、水圧載荷中は供試体接続部、圧力変換器取り付け部などから水漏れをチェックする。

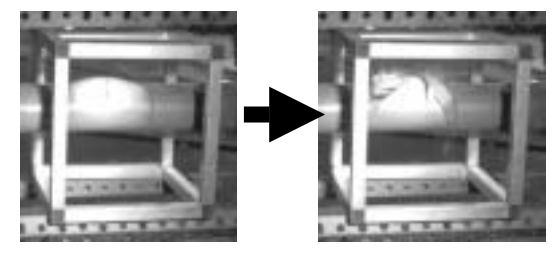
3.実験結果

破壊状況の検討 3.1 膨張破裂破壊



載荷時間 26 秒のグラフ

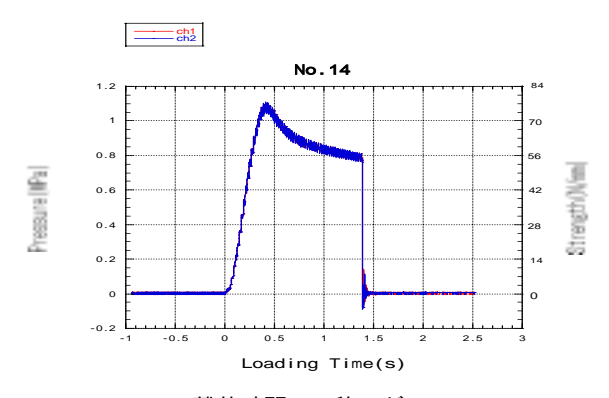
図-2 は膨張破裂破壊の波形を示している。縦軸に圧力、横軸に時間をとる。載荷開始から 8 秒後、最大圧力 0.831 Mpa をとり、16 秒の塑性状態をへて、破壊圧力 0.643 Mpa をとり急速に破断する。



0.02秒後

破壊の瞬間

3.2 小穴状破壊

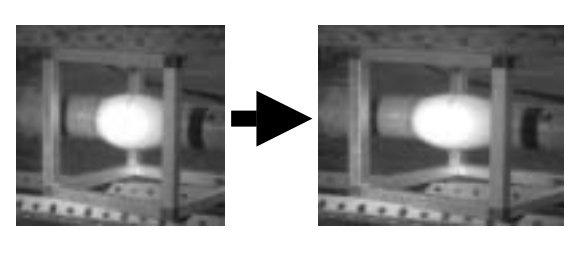


載荷時間 1.4 秒のグラフ

図-3 は小穴状破壊の波形を示している。載荷時間から1.4秒後、最大圧力1.103Mpaをとり、0.5秒の塑性状態を経て、破壊時圧力0.802Mpaをとり、破断する。

キーワード:水撃圧、力積、応力ひずみ曲線

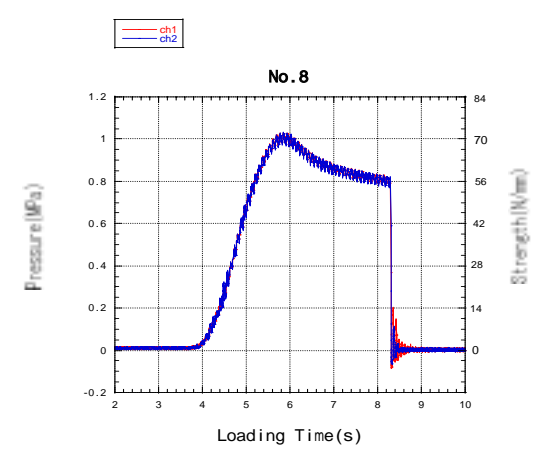
住所:宮城県大崎市古川南町1-5-3



破壊の 0.02 秒前

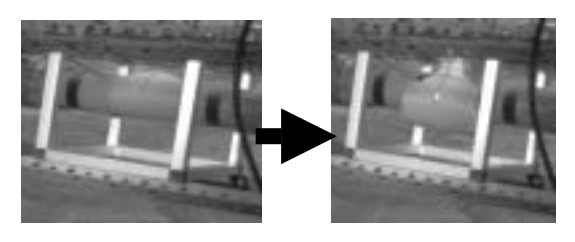
破壊の瞬間

3.3 膨張 X 状破壊



載荷時間 8.2 秒のグラフ

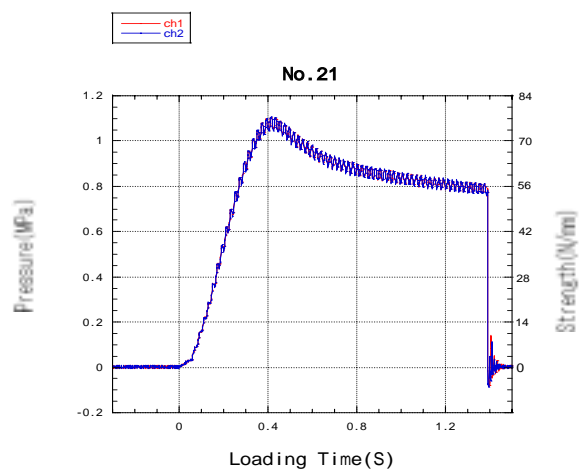
図-3 は膨張 X 状破壊の波形を示している。載荷開始から 5.8 秒後、最大圧力 1.032Mpa をとり、4.8 秒の塑性状態をへて、破壊時圧力 0.911Mpa をとり急速に破断する。



破壊 0.02 秒前

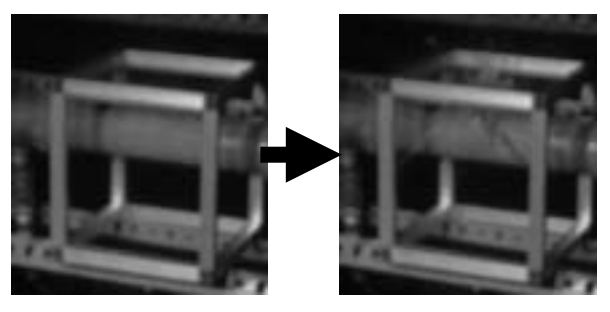
破壊の瞬間

3.4 完全 X 状破壊



載荷時間 1.3 秒のグラフ

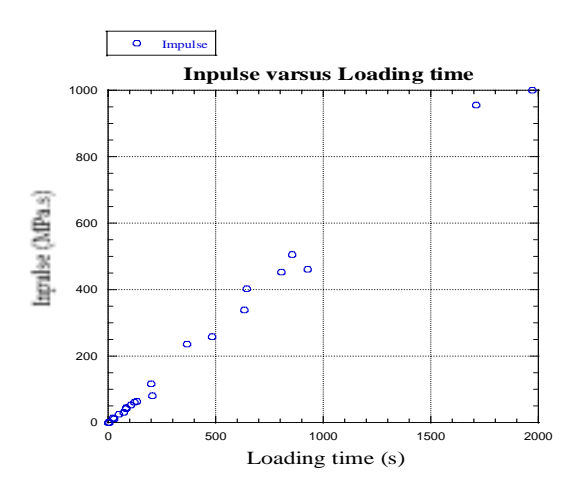
図-4 は完全 X 状破壊の波形を示している。載荷時間から 0.41 秒後最大圧力 1.082 Mpa をとり、急速に破断する。



0.02秒前

破壊の瞬間

4. 力積



載荷時間が速くなるにつれて、力積は非常に小さくなっている、また逆に載荷時間が遅くなると、力積は非常に大きくなっている。これは載荷時間が短いものは圧力が大きく、長いものは圧力が小さいという特性の逆の結果になっている。

つまり載荷時間が速いと圧力は大きくなるが、破壊に必要とするエネルギーは少ないということである。

5 . 結論

- 1) 載荷時間が150秒~(準静的載荷) 最大圧力はほぼ0.7~0.85(Mpa)と収束している。 完全X状破壊以外のものが多く見られた。この ことから載荷時間の長いものは延性的な破壊に なっている。
- (2) 載荷時間が0~10秒(動的載荷) 最大圧力は、0.7~1.2(MPa)と範囲がバラバラと なっている。中でも、完全 X 状破壊が多くみら れ載荷時間が短い場合は 強度は高い状態で破 壊する脆性破壊 が多く見られた。
- (3) 載荷時間が10~150秒(中間的載荷) 最大圧力は、0.7~1.05(Mpa)とこちらも範囲に ばらつきが見られた。こちらも、完全 X 状破壊 以外のものが多く見られた。このことから載荷 時間の中くらいのものも延性的な破壊になって いるといえる。

参考文献:金成治置(塩化ビニル管の強度について) 2009 年度卒論